



Perricone B

Ansaldi G., Barbagallo M. G., Brancadoro L., De Lorenzis G., Di Lorenzo R., Falco V., Fici G., Gagliano F., Marino G., Monteleone G., Pisciotta A., Scienza A., 2015. Perricone (Biotipo B). in: Italian Vitis Datababase, www.vitisdb.it. ISSN 2282-006X

release 15/11/2018, ultimo aggiorn. 15/11/2018 url <http://vitisdb.it/accessions/show/16139>

Informazioni gestite da

Regione Siciliana - Assessorato delle Risorse Agricole e Alimentari - Dip. Interventi Infrastrutturali per l'Agricoltura - Centro per l'Innovazione della Filiera Vitivinicola UOS Marsala

Dipartimento di Scienze Agrarie ed Ambientali - Università degli Studi di Milano

Dipartimento di Scienze Agrarie e Forestali - Università degli Studi di Palermo

Ringraziamenti

Regione Sicilia, Ager Foundation

Informazioni generali

nome Perricone B

codice ITA430-14-2

nazione di selezione Italia

regione di selezione Sicilia

provincia di selezione non disponibile

località di selezione non disponibile

istituzione custode Regione Siciliana - Assessorato delle Risorse Agricole e Alimentari - Dip. Interventi Infrastrutturali per l'Agricoltura - Centro per l'Innovazione della Filiera Vitivinicola UOS Marsala

collezione Biesina-Marsala

Varietà & clone

tipo di origine spontanea

genere Vitis

specie Vitis vinifera

sub specie sativa

varietà Perricone

codice della varietà IVD-var_359

clone non disponibile

trueness to type accertato con rilievi morfologici e microsatelliti

Trueness to type

True-name

confermato **si**

►bibliografia correlata (1)

autori	anno	titolo	rivista	citazione
Ansaldi G., Cartabellotta D., Falco V., Gagliano F., Scienza A.	2014	Identità e ricchezza del Vigneto Sicilia		REGIONE SICILIANA Assessorato Regionale dell'Agricoltura, dello Sviluppo Rurale e della Pesca Mediterranea

Trueness to type accertato con rilievi morfologici (ampelografici)

accertamento con rilievi morfologici (ampelografici) **accertato**

►bibliografia correlata (1)

autori	anno	titolo	rivista	citazione
Bica Daniela	2007	Vitigni di Sicilia		Assessorato Agricoltura e Foreste

Trueness to type accertato con microsatelliti

accertamento con microsatelliti **accertato**

►bibliografia correlata (1)

autori	anno	titolo	rivista	citazione
De Lorenzis G., Las Casas G., Brancadoro L., Scienza A.	2014	Genotyping of Sicilian grapevine germplasm resources (V. vinifera L.) and their relationships with Sangiovese	Scientia Horticulturae	169: 189-198

loci confrontati **n.d.**

loci identici **n.d.**

discrepanze

n.d.

Profilo microsatellite standardizzato

loci:	loci predefiniti (9)																	
locus SSR:	VVS2		VVMD5		VVMD7		VVMD27		VrZAG62		VrZAG79		VVMD25		VVMD28		VVMD32	
allele:	A1	A2	A1	A2	A1	A2	A1	A2	A1	A2	A1	A2	A1	A2	A1	A2	A1	A2
dimensione:	133	135	227	235	239	239	183	185	188	196	243	247	242	256	237	261	253	259

Immagini



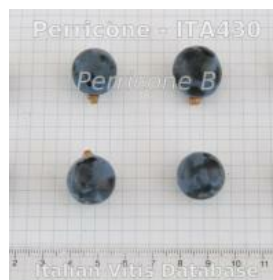
germoglio



foglia



grappolo



acino



vinacciolo

Ampelografia

OIV	descrizione	valore		immagini
001	Giovane germoglio: apertura dell'apice	5	completamente aperto	
003	Giovane germoglio: intensità della pigmentazione antocianica dei peli striscianti dell'apice	1	nulla o molto bassa	
004	Giovane germoglio: densità dei peli striscianti dell'apice	3	bassa	
006	Germoglio: portamento (prima della legatura)	1 / 3	eretto / semi-eretto	
007	Germoglio: colore del lato dorsale degli internodi	1 (Ø 3)	verde	
008	Germoglio: colore del lato ventrale degli internodi	1	verde	
016	Germoglio: numero di viticci consecutivi	1	2 o meno	
051	Foglia giovane: colore della pagina superiore del lembo (4 a foglia)	1 / 3	verde / bronzato	
053	Foglia giovane: densità peli striscianti tra le nervature principali della pagina inferiore (4a foglia)	1	nulla o molto bassa	
065	Foglia adulta: dimensione del lembo	5	medio	
067	Foglia adulta: forma del lembo	2 / 4 (Ø 3)	cuneiforme / orbicolare	
068	Foglia adulta: numero dei lobi	2 (Ø 3)	tre	
070	Foglia adulta: distribuzione pigmentazione antocianica nervature principali pagina superiore	1	assente	
072	Foglia adulta: depressioni del lembo	3 / 5	deboli / medie	
074	Foglia adulta: profilo del lembo in sezione trasversale	3 / 5	involuta / contorta	
075	Foglia adulta: bollosità della pagina superiore del lembo	1	nulla o molto bassa	
076	Foglia adulta: forma dei denti	2 / 3	entrambi i lati rettilinei /	

			entrambi i lati convessi
079	Foglia adulta: grado di apertura / sovrapposizione dei bordi del seno peziolare	3 / 5	aperto / chiuso
080	Foglia adulta: forma della base del seno peziolare	3 (2)	a V
081-1	Foglia adulta: denti del seno peziolare	1	assenti
081-2	Foglia adulta: base del seno peziolare delimitata dalla nervatura	1	non delimitata
082	Foglia adulta: grado di apertura / sovrapposizione dei seni laterali superiori	3	leggermente sovrapposti
083-1	Foglia adulta: forma della base dei seni laterali superiori	1	a U
083-2	Foglia adulta: denti nei seni laterali superiori	1	assenti
084	Foglia adulta: densità dei peli striscianti tra le nervature principali sulla pagina inferiore del lembo	1	nulla o molto bassa
086	Foglia adulta: densità dei peli striscianti sulle nervature principali della pagina inferiore del lembo	1	nulla o molto bassa
087	Foglia adulta: densità dei peli eretti sulle nervature principali della pagina inferiore del lembo	1	nulla o molto bassa
093	Foglia adulta: lunghezza del picciolo in rapporto alla lunghezza della nervatura mediana	3 / 5	leggermente più corto / uguale
094	Foglia adulta: profondità dei seni laterali superiori	1 / 3	assente o molto poco profondo / poco profondo
151	Fiore: organi sessuali	3	stami completamente sviluppati e gineceo completamente sviluppato
202	Grappolo: lunghezza (escluso il peduncolo)	5 / 7	medio / lungo
204	Grappolo: compattezza	7 / 9	compatto / molto compatto
208	Grappolo: forma	1 / 2	cilindrico / conico
209	Grappolo: numero di ali del grappolo principale	2	1 - 2 ali
220	Acino: lunghezza	5 / 3	medio / corto
221	Acino: larghezza	5 / 3	medio / stretto
223	Acino: forma	2 / 3	sferoidale / ellissoidale largo
225	Acino: colore della buccia	5	rosso scuro violetto
231	Acino: intensità della pigmentazione antocianica della polpa	1	nulla o molto debole
236	Acino: particolarità dell'aroma	1	nessuna
241	Acino: sviluppo dei vinaccioli	1	nessuno



Note ampelografiche

Questo vitigno, a dispetto della sua antica coltivazione, ha fatto rilevare, nel corso delle indagini sulla valorizzazione delle varietà autoctone siciliane, una ridotta variabilità intravarietale. Questo risultato è plausibilmente dovuto alla drastica contrazione della superficie coltivata con questo vitigno, successivamente all'avvento della fillossera che ha causato la perdita della variabilità intravarietale preesistente. Nonostante questi presupposti è stato possibile definire due biotipi che si caratterizzano per alcuni aspetti della morfologia dell'acino ed in particolare per le sue dimensioni, definendo così due biotipi biotipo A ad acino grande e biotipo B ad acino piccolo.

Ampelometria

OIV

OIV	PDF	descrizione	valore
601	PDF	Foglia adulta: lunghezza della nervatura N1	(Ø 105.12)
602	PDF	Foglia adulta: lunghezza della nervatura N2	(Ø 94.80)
603	PDF	Foglia adulta: lunghezza della nervatura N3	(Ø 70.07)
604	PDF	Foglia adulta: lunghezza della nervatura N4	(Ø 45.08)
605	PDF	Foglia adulta: distanza dal seno peziolare al seno laterale superiore	(Ø 54.97)
606	PDF	Foglia adulta: distanza dal seno peziolare al seno laterale inferiore	(Ø 53.57)
607	PDF	Foglia adulta: angolo tra N1 e N2 misurato alla prima biforcazione	(Ø 55.32)
608	PDF	Foglia adulta: angolo tra N2 e N3 misurato alla prima biforcazione	(Ø 50.02)
609	PDF	Foglia adulta: angolo tra N3 e N4 misurato alla prima biforcazione	(Ø 53.28)
611	PDF	Foglia adulta: lunghezza della nervatura N5	(Ø 20.98)
617	PDF	Foglia adulta: distanza tra l'estremità di N2 e l'estremità della prima nervatura secondaria di N2	(Ø 42.87)
618	PDF	Foglia adulta: apertura/sovrapposizione del seno peziolare	(Ø -16.15)

Superampelo

distanze		
descrittore	valore	deviazione standard
Distanza dal seno peziolare al seno inferiore sinistro	54.390	8.320
Distanza dal seno peziolare al seno inferiore destro	52.740	5.840
Distanza dal seno peziolare al seno superiore sinistro	54.630	11.640
Distanza dal seno peziolare al seno superiore destro	55.320	9.010
Nervatura N3', lunghezza dal seno peziolare alla nervatura N4'	11.180	2.480
Nervatura N3, lunghezza dal seno peziolare alla nervatura N4	11.770	2.610
Lunghezza della nervatura N5'	21.420	3.890
Lunghezza della nervatura N5	20.540	5.380
Lunghezza della nervatura N4'	46.130	6.390
Lunghezza della nervatura N4	44.030	6.540
Distanza tra punto peziolare ed estremità della nervatura N4'	53.920	7.600
Distanza tra punto peziolare ed estremità della nervatura N4	52.420	7.490
Lunghezza della foglia	153.340	19.370
Larghezza della foglia	142.330	17.170
Lunghezza della foglia compreso il picciolo	183.140	25.340
Lunghezza del picciolo	78.020	12.700
Lunghezza della nervatura N1	105.120	13.090
Distanza tra gli estremi delle nervature N2 e N2'	133.400	17.150
Distanza tra gli estremi delle nervature N3 e N3'	138.520	20.190
Distanza tra gli estremi delle nervature N4 e N4'	59.820	15.060
Larghezza del seno peziolare / Distanza tra i punti SP e SP'	-16.150	7.840
Lunghezza della nervatura N2	95.250	12.450
Lunghezza della nervatura N2'	94.340	15.590
Lunghezza della nervatura N3	69.710	9.090
Lunghezza della nervatura N3'	70.430	11.220
Distanza tra estremità di N2 e estremità della prima ramificazione laterale di N2	43.080	11.160
Distanza tra estremità di N2' e estremità della prima ramificazione laterale di N2'	42.670	11.350

angoli		
descrittore	valore	deviazione standard
Angolo tra N1 e N2 misurato alla prima biforcazione	54.370	3.540
Angolo tra N1 e N2' misurato alla prima biforcazione	56.280	3.770
Angolo tra N2 e N3 misurato alla prima biforcazione	49.720	4.370
Angolo tra N2' e N3' misurato alla prima biforcazione	50.330	4.290
Angolo tra N3 e N4 alla prima biforcazione di N3	52.280	6.640
Angolo tra N3' e N4'	54.280	4.330
Angolo tra N1 e N2 misurato agli estremi delle nervature	45.450	6.670
Angolo tra N1 e N2' misurato agli estremi delle nervature	44.800	7.880
Angolo tra N2 e N3 misurato agli estremi delle nervature	50.560	6.850
Angolo tra N2' e N3' misurato agli estremi delle nervature	53.390	4.350
Angolo tra N3 e N4 misurato agli estremi delle nervature	48.570	5.220
Angolo tra N3' e N4' misurato agli estremi delle nervature	49.370	4.760
Angolo di apertura del seno peziolare misurato a SP e SP'	33.480	16.320
Angolo tra D e D' con centro in N1	103.460	8.720
Angolo tra S e S' con centro in N1	55.430	10.340
Angolo tra I e I' con centro in N1	53.180	3.690
Angolo tra N3 e la tangente tra il punto peziolare e l'estremità N5	67.880	9.900
Angolo tra N3' e la tangente tra il punto peziolare e l'estremità N5'	69.240	6.030

rapporti		
descrittore	valore	deviazione standard
Rapporto tra l'altezza e la base del dente all'estremità della nervatura N4'	0.980	0.130
Rapporto tra l'altezza e la base del dente all'estremità della nervatura N4	1.000	0.140
Rapporto tra l'altezza e la base del dente all'estremità della nervatura N2'	0.960	0.190
Rapporto tra l'altezza e la base del dente all'estremità della nervatura N2	1.000	0.140
Rapporto tra la somma degli angoli a' + b' e la somma della distanza tra il seno peziolare e il seno superiore sinistro OS' e il seno peziolare e il seno inferiore sinistro OI'	0.020	0.000
Rapporto tra la somma degli angoli a + b e la somma della distanza tra il seno peziolare e il seno superiore destro OS e il seno peziolare e il seno inferiore destro OI	0.020	0.000
Rapporto tra la lunghezza della nervatura N5' e la lunghezza della nervatura N1	0.200	0.020
Rapporto tra la lunghezza della nervatura N5 e la lunghezza della nervatura N1	0.190	0.040
Rapporto tra la lunghezza della nervatura N4' e la lunghezza della nervatura N1	0.440	0.030
Rapporto tra la lunghezza della nervatura N4 e la lunghezza della nervatura N1	0.420	0.050
Rapporto tra la lunghezza della nervatura N3' e la lunghezza della nervatura N1	0.670	0.050
Rapporto tra la lunghezza della nervatura N3 e la lunghezza della nervatura N1	0.670	0.060
Rapporto tra la lunghezza della nervatura N2' e la lunghezza della nervatura N1	0.900	0.080
Rapporto tra la lunghezza della nervatura N2 e la lunghezza della nervatura N1	0.910	0.060
Rapporto tra la distanza dal seno peziolare al seno inferiore sinistro OI' e la lunghezza della nervatura N3'	0.770	0.050
Rapporto tra la distanza dal seno peziolare al seno inferiore destro OI e la lunghezza della nervatura N3	0.760	0.040
Rapporto tra Lunghezza e larghezza della foglia	1.080	0.060
Rapporto tra la lunghezza del picciolo OP e la lunghezza della nervatura N1	0.740	0.050
Rapporto tra la distanza dal seno la lunghezza della nervatura N2	0.580	0.080
Rapporto tra la distanza dal seno peziolare la lunghezza della nervatura N2'	0.580	0.100

Fenologia & produzione

OIV	descrizione	valore	
301	Epoca di germogliamento	5	media
303	Epoca d'inizio dell'invaiaura	5	medio
351	Vigoria del germoglio	5 / 3	media (70-80 g) / bassa (50-60 g)
502	Grappolo: peso di un grappolo	3	basso (250-350 g)
503	Acino: peso di un acino	3	basso (2,5-3,5 g)
505	Tenore in zucchero del mosto	7	elevato (20,2-21,8)
506	Acidità totale del mosto	3	bassa (5,2-6,8)
508	pH del mosto	5	medio (3,2-3,3)

Vegeto-produttivo

sesto di impianto e forma di allevamento	valore	deviazione standard	numero di anni
Forma di allevamento	controspalliera		
Sistema di potatura			
Distanza tra le file (m)	2.400		
Distanza sulla fila (m)	0.900		

vigore	valore	deviazione standard	numero di anni
Numero germogli/tralci per pianta (numero/pianta)	12.710	1.660	4
Numero germogli/tralci per metro di filare (numero/m)	14.130	1.850	4
Peso legno di potatura per pianta (kg)	0.660	0.010	2
Peso medio tralcio (g)	53.710	1.820	2
Peso legno di potatura per metro di filare (kg)	0.730	0.020	2

fertilità	valore	deviazione standard	numero di anni
Numero infiorescenze per germoglio alla fioritura (numero/germoglio)	0.760	0.130	4
Fertilità basale (grappoli/gemma)	0.510	0.130	4

quantità produzione	valore	deviazione standard	numero di anni
Diametro acino (media di 25 acini) - larghezza (mm)	15.420	0.030	2
Diametro acino (media di 25 acini) - lunghezza (mm)	15.380	0.020	2
Numero grappoli per pianta (numero/pianta)	9.770	2.710	4
Numero grappoli per metro lineare (numero/m)	10.850	3.010	4
Produzione per metro di filare (kg/m)	2.580	1.600	4
Produzione per pianta (kg/ceppo)	2.320	1.440	4
Peso medio grappolo (g)	224.000	80.620	4
Produzione per ettaro (t/ha)	10.755	66.790	4
Peso di 100 acini (g)	232.000	10.000	4

qualità produzione	valore	deviazione standard	numero di anni
Tenore in zucchero del mosto (°Brix)	19.430	1.310	3
Acidità titolabile del mosto (g/l)	5.210	0.860	3
pH (pH)	3.440	0.040	3
Antociani totali bucce (g/kg)	0.990	0.220	2

Polifenoli uve

flavonoli	buccia (mg/kg) (dev.st)	vinacciolo (mg/kg) (dev.st)	polpa (mg/kg) (dev.st)
miricetina monoglucoside	5.09		
quercetina monoglucoside	10.33		
quercetina glucuronide	4.99		
campferolo monoglucoside	2.85		

acidi idrossicinnamiltartarici	buccia (mg/kg) (dev.st)	vinacciolo (mg/kg) (dev.st)	polpa (mg/kg) (dev.st)
ac. cis p-cumariol tartarico	1.08		
ac. trans feruil tartarico	0.22		
ac. trans caffeil tartarico	7.79		
ac. trans p-cumariol tartarico	3.71		

antociani monoglucosidi	buccia (mg/kg) (dev.st)	vinacciolo (mg/kg) (dev.st)	polpa (mg/kg) (dev.st)
cianidina-3-monoglucoside	81.52		
delfinidina-3-monoglucoside	54.20		
petunidina-3-monoglucoside	70.67		
peonidina-3-monoglucoside	215.01		
malvidina-3-monoglucoside	470.52		

Note profilo polifenolico

acetati totali 13.34 mg/kg di uva p-cumarati 65.01 mg/kg di uva Nel vitigno Perricone, la malvidina-3-glucoside è l'antociano principale. Esso è seguito dalla peonidina-3-glucoside e dalla petunidina-3-glucoside, mentre i 3-glucosidi della cianidina e della delfinidina non raggiungono ciascuno 5% del totale. Il rapporto acetati/p-cumarati è sensibilmente minore di 1.

Aromi uve

nessun descrittore aromatico presente per Perricone B

Note aromi

Le uve di questa cultivar sono scarsamente dotate di precursori dei composti terpenici, dei norisoprenoidi e dei benzenoidi. Fra gli alcoli terpenici monoidrossilati prevale il geraniolo. Il rapporto fra gli isomeri trans e cis degli ossidi furanici del linalolo è maggiore di 1, fra gli isomeri trans e cis degli ossidi piranici del linalolo maggiore di 1, fra gli isomeri trans e cis dell'8-idrossi linalolo è maggiore di 1, fra linalolo e geraniolo minore di 1. Nessuna caratteristica particolare si rileva dal profilo dei norisoprenoidi e dei benzenoidi. Vedere l'accessione Perricone A

Altri descr.

nessun "altro" descrittore disponibile per Perricone B

Accessioni della medesima varietà (1)

- Perricone B - Regione Siciliana - Assessorato delle Risorse Agricole e Alimentari - Dip. Interventi Infrastrutturali per l'Agricoltura - Centro per l'Innovazione della Filiera Vitivinicola UOS Marsala